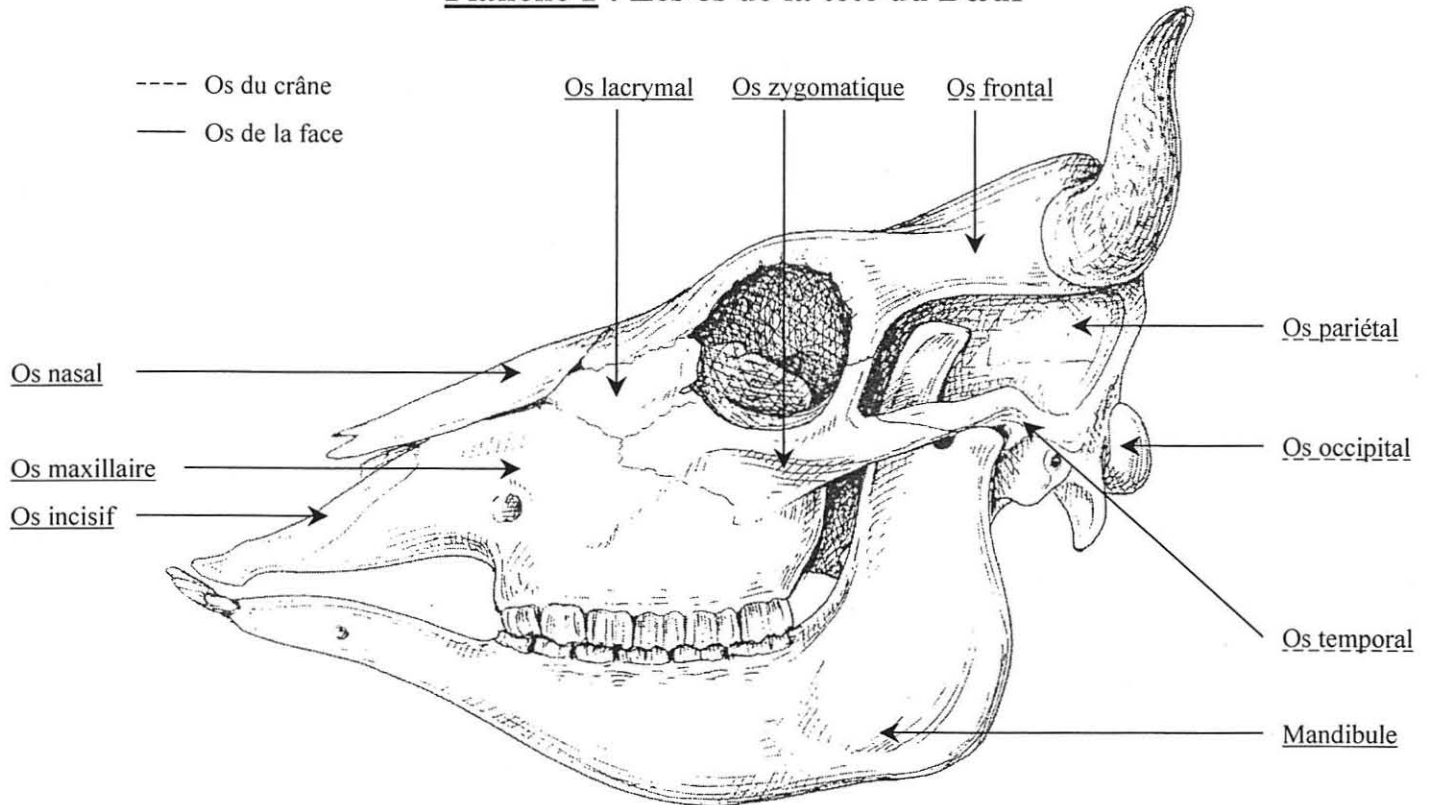
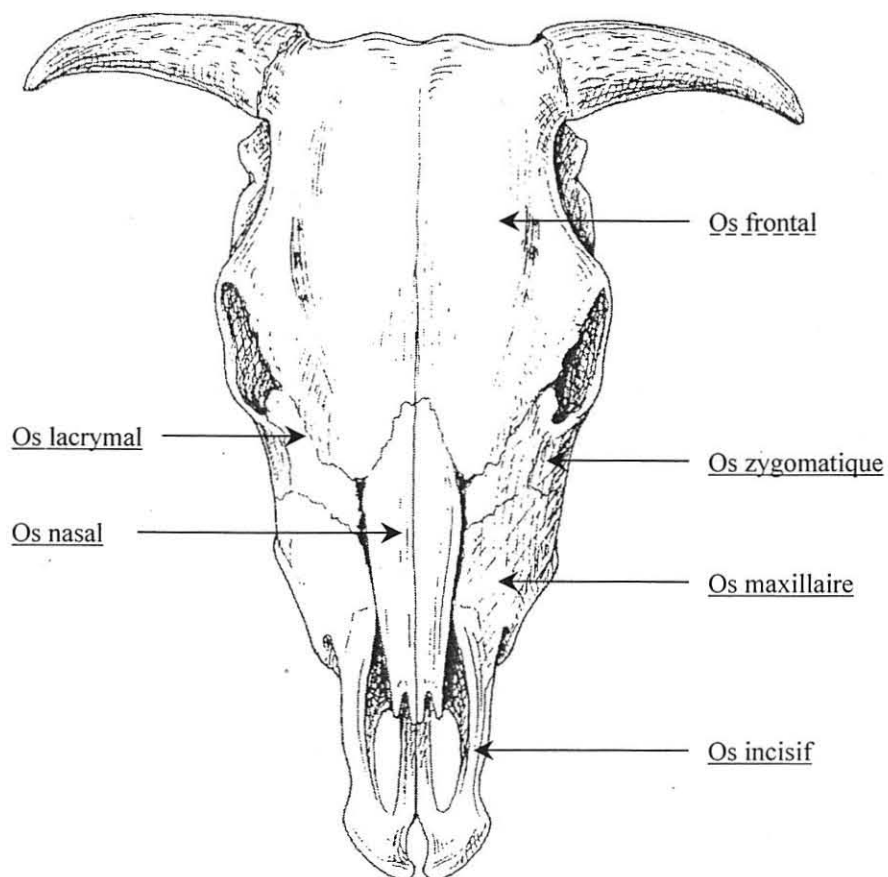


Planche 1 : Les os de la tête du Bœuf

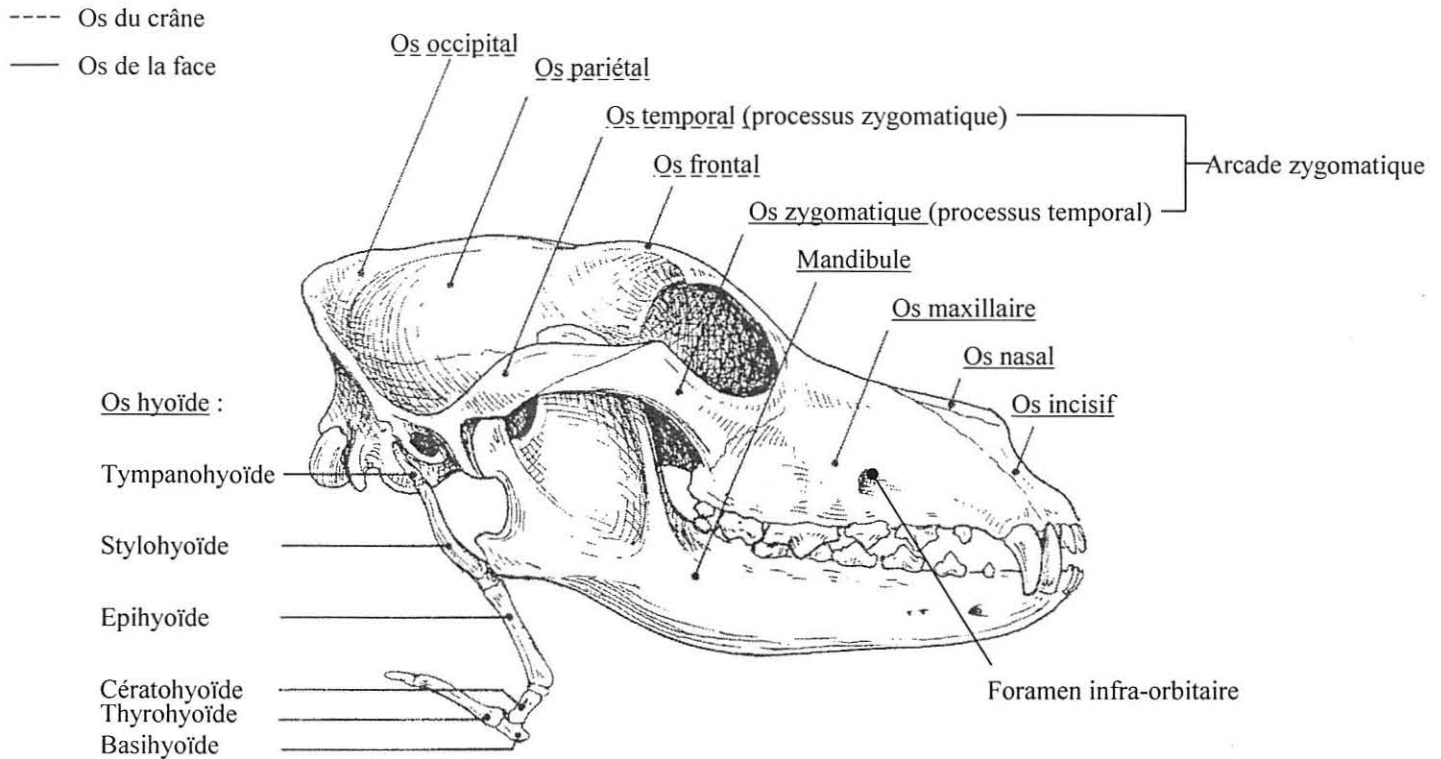


**Os de la tête du Bœuf : vue latérale
(d'après E. CHATELAIN, 1993)**

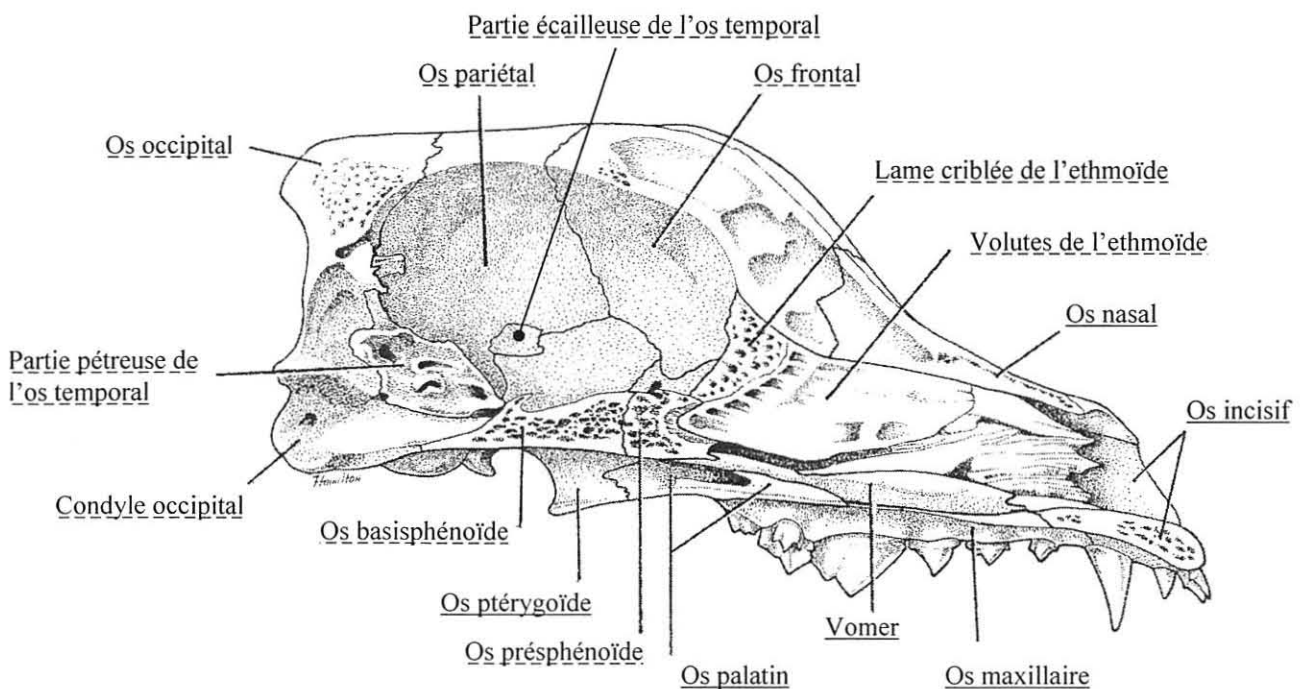


**Os de la tête du Bœuf : vue dorsale
(d'après E. CHATELAIN, 1993)**

Planche 2 : Les os de la tête du Chien



Os de la tête du Chien : vue latérale, os hyoïde en place
(d'après E. CHATELAIN, 1993)



Os de la tête du Chien : vue médiale d'une coupe sagittale
(d'après H. E. EVANS, 1993)

Planche 3 : Les trous de sortie des nerfs crâniens

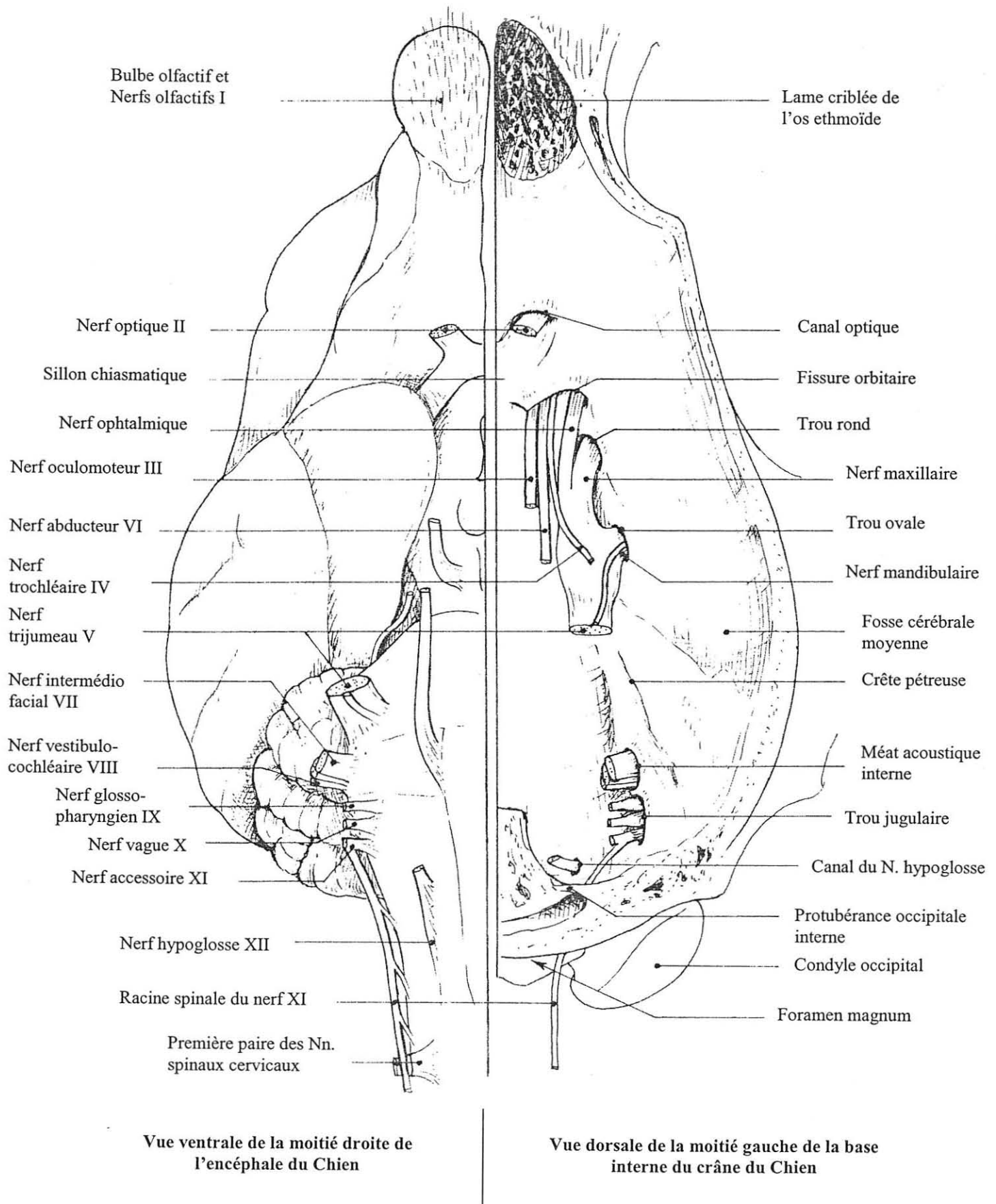
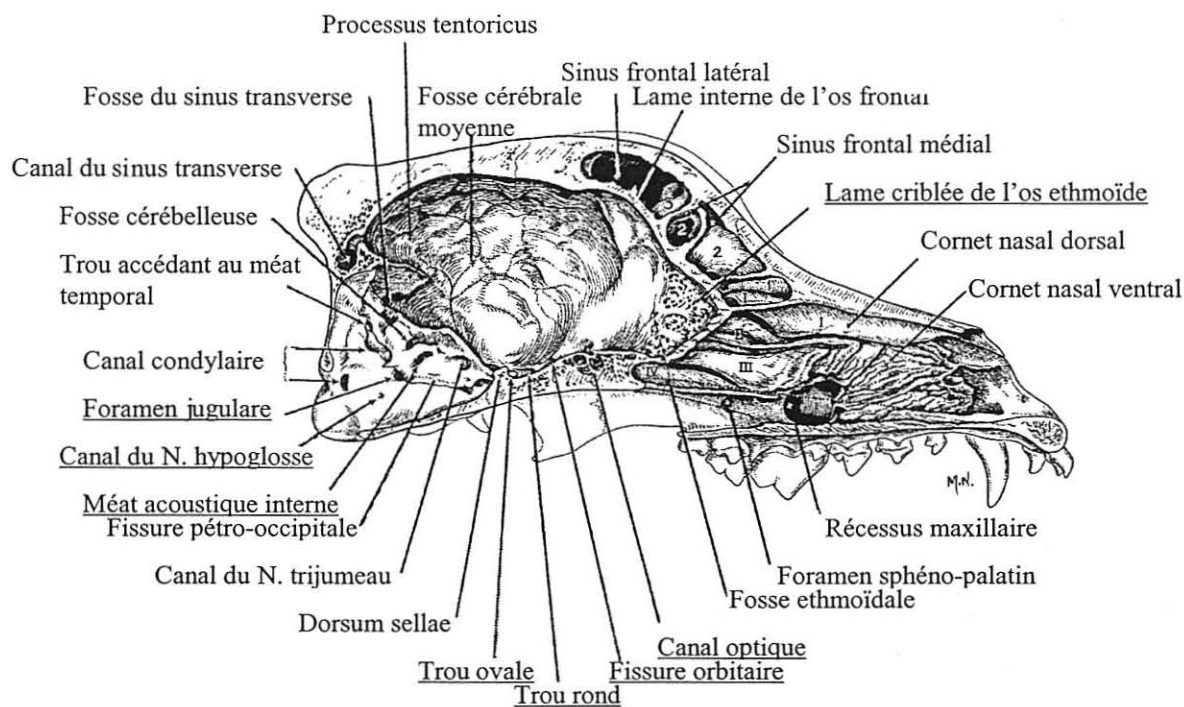
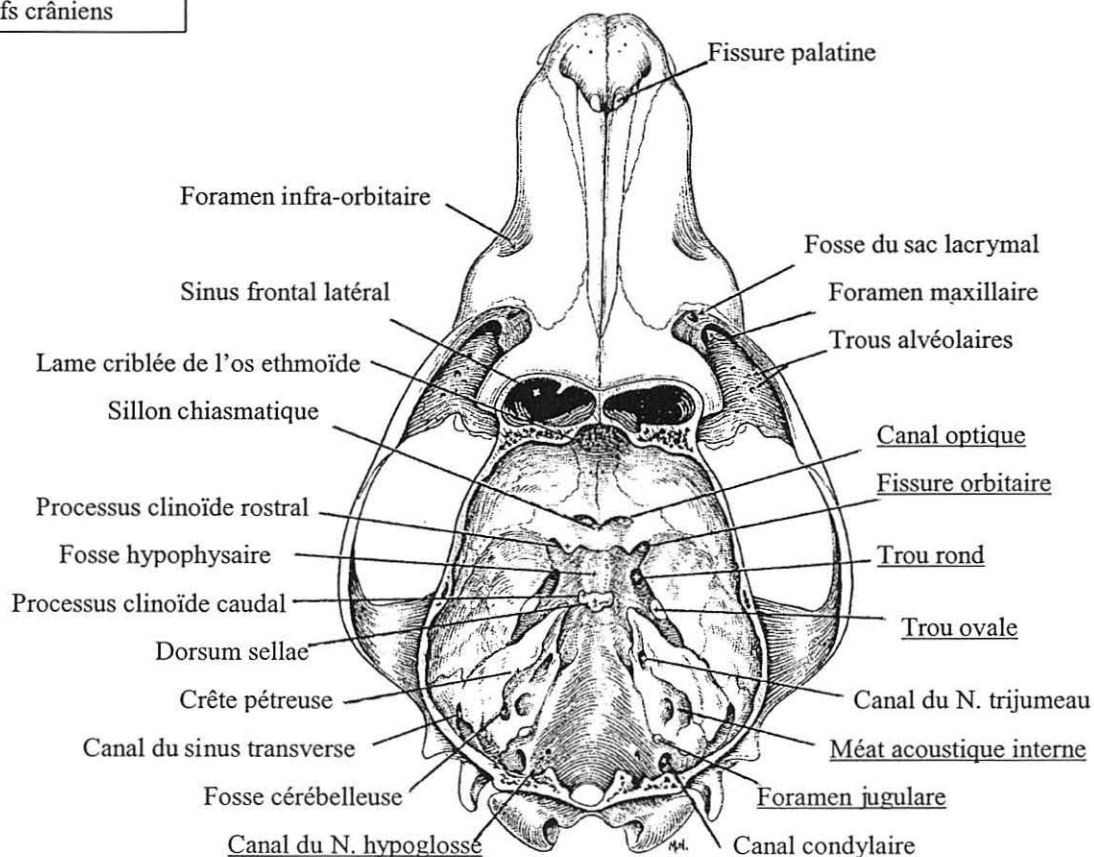


Planche 4 : Les trous de sortie des nerfs crâniens du Chien



Vue médiale d'une coupe sagittale de tête osseuse du Chien
(d'après H.E. EVANS, 1993)

— Trous de sortie des
nerfs crâniens



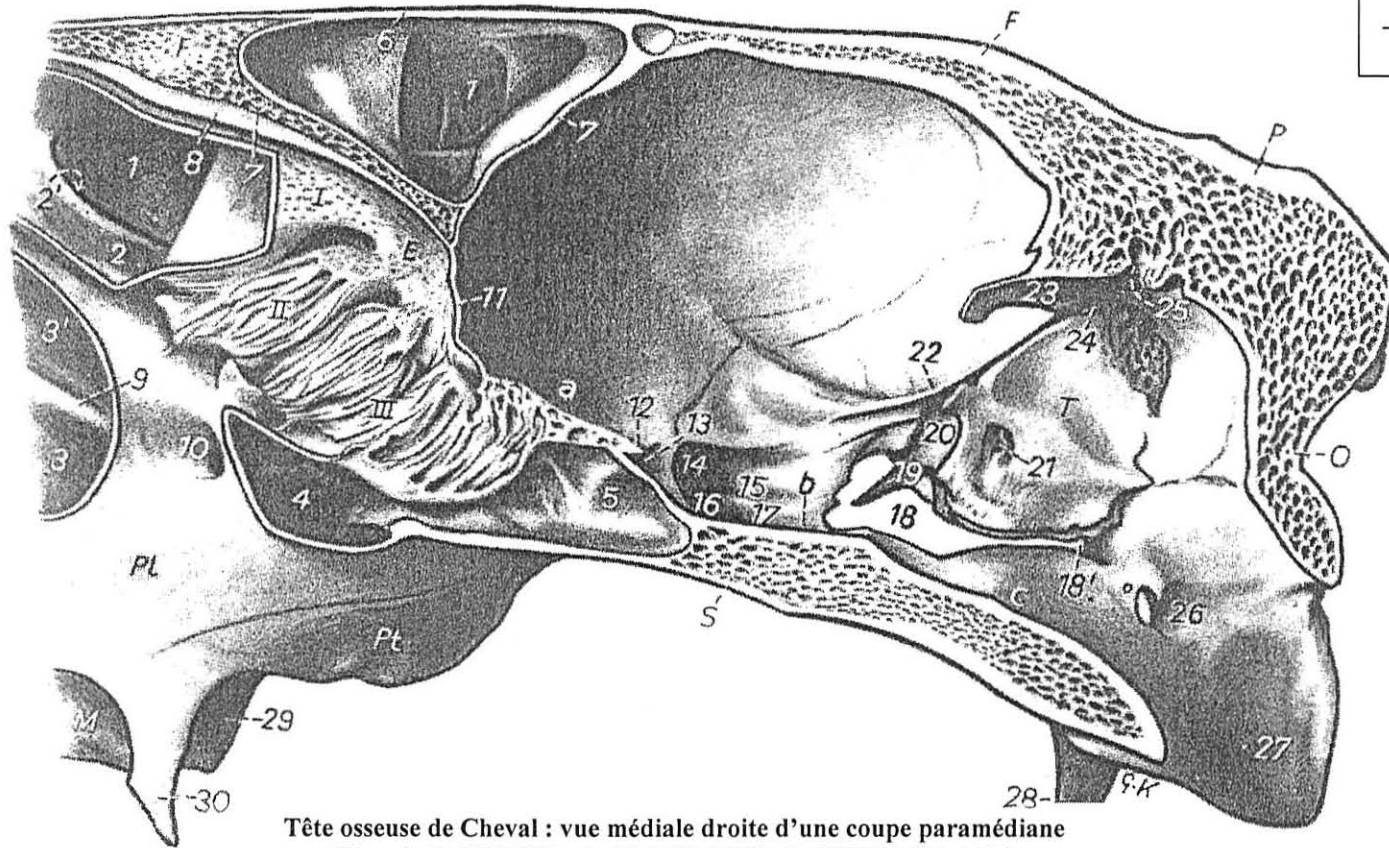
Coupe dorsale (ou frontale) de tête osseuse du Chien
(d'après H.E. EVANS, 1993)

Planche 5 : Les trous de sortie des nerfs crâniens du Cheval (1)



Tête osseuse de Cheval : vue dorsale d'une coupe dorsale (ou frontale)
(d'après R. BARONE, 1986)

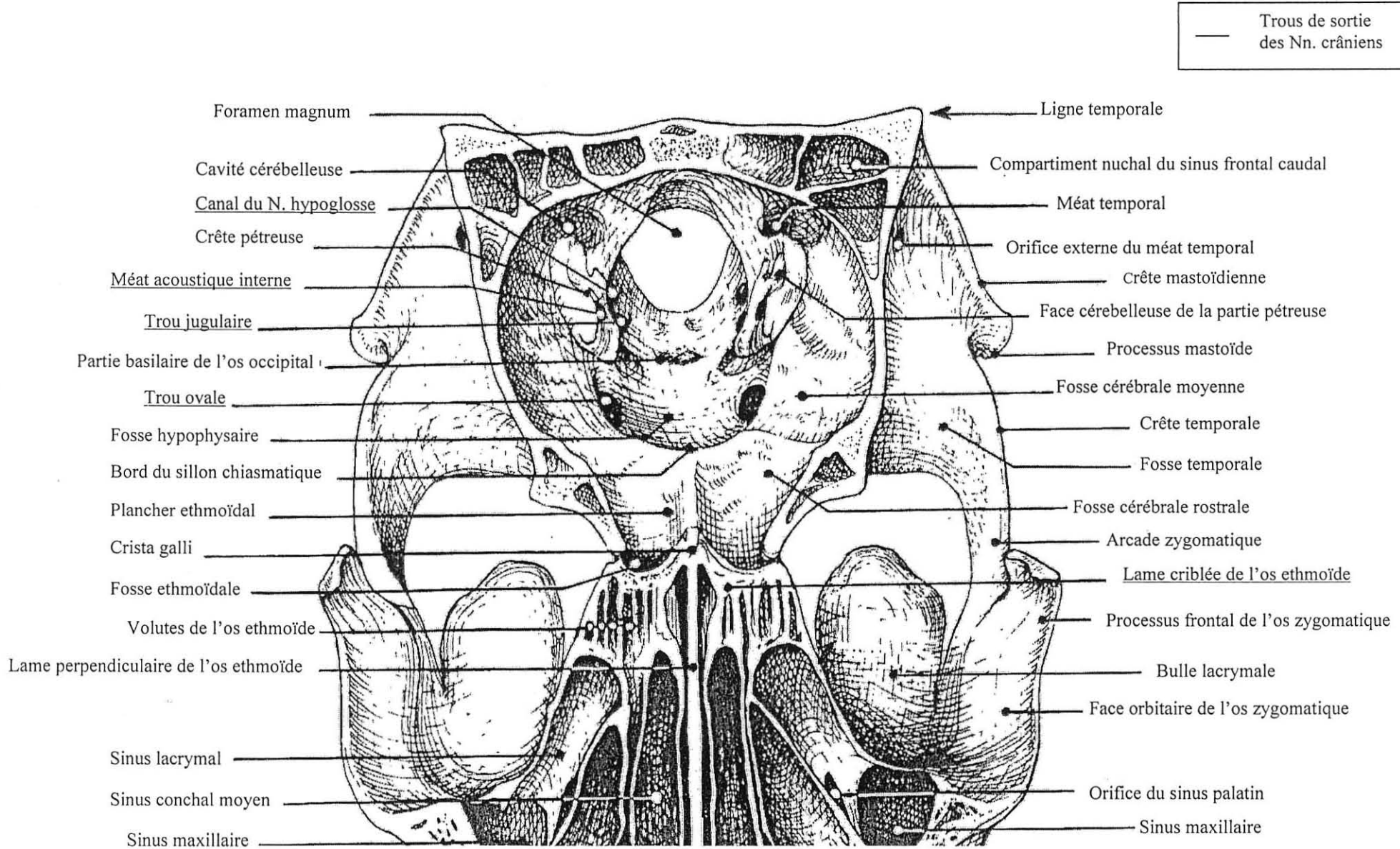
Planche 6 : Les trous de sortie des nerfs crâniens du Cheval (2)



Tête osseuse de Cheval : vue médiale droite d'une coupe paramédiane
(d'après R. NICKEL, A. SCHUMMER, E. SEIFERLE, 1986)

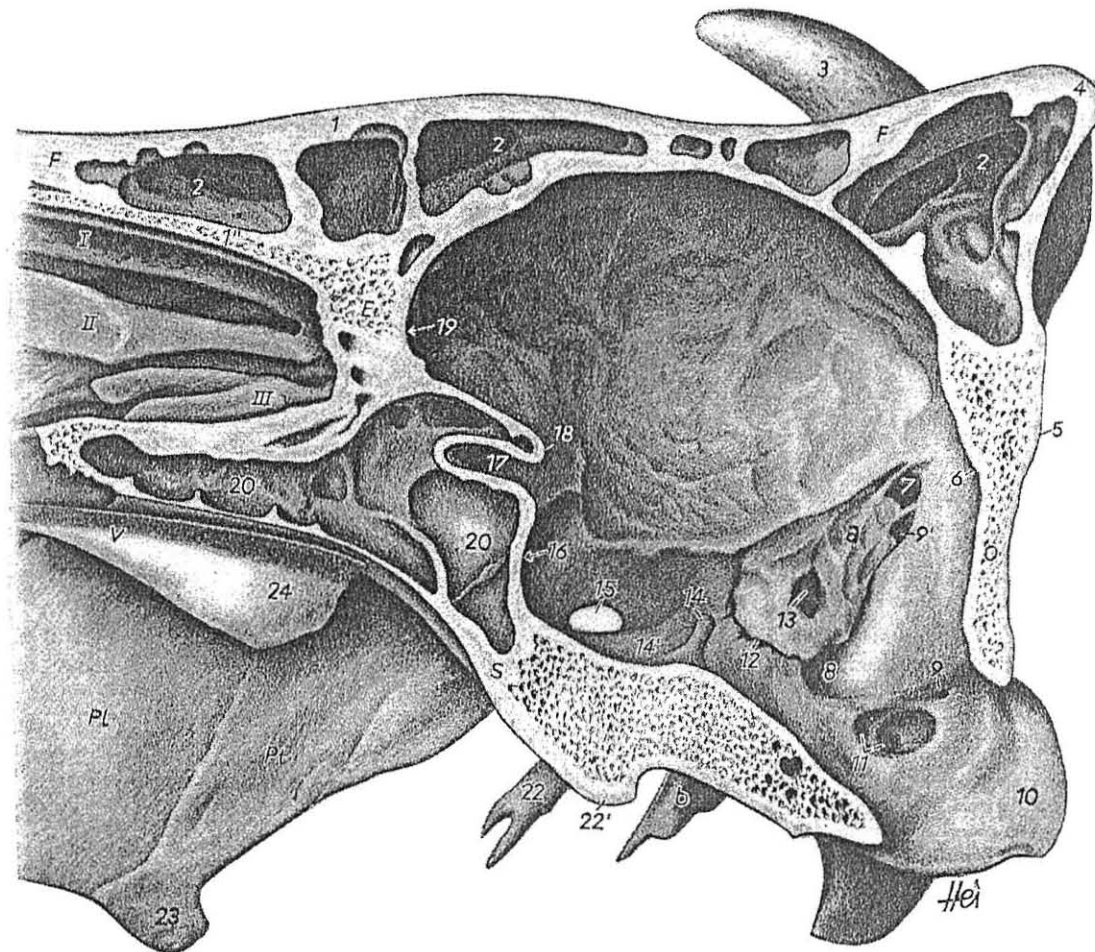
1 Sinus frontal	12 Crête orbito-sphénoïdale	22 Crête de la partie pétreuse	I, II, III : 1 ^{er} , 2 ^{ème} , 3 ^{ème} endoturbinale
2 Sinus conchal dorsal	13 <u>Canal optique</u>	23 Crête cérébro-cérébelleuse	E : os ethmoïde
3 Sinus conchal ventral	14 <u>Entrée du trou rond</u>	24 Entrée du méat temporal	F : os frontal
4 Sinus palatin	15 Sillon du nerf maxillaire	25 Entrée du canal du sinus transverse	M : maxillaire
5 Sinus sphénoïdal	16 <u>Entrée de la fissure orbitaire</u>	26 <u>Canal du nerf hypoglosse</u>	O : os occipital
6 Lame externe de l'os frontal	17 Sillon du nerf ophtalmique	27 Condyle occipital	P : os pariétal
7 Lame interne de l'os frontal	18 <u>Trou déchiré</u>	28 Processus paracondylaire	Pl : os palatin
8 Lame tectoriaire de l'os ethmoïde	18' <u>Trou jugulaire</u>	29 Tubérosité maxillaire	Pt : os ptérygoïde
9 Canal infra-orbitaire	19 Processus musculaire	30 Crochet ptérygoïdien	S : os sphénoïde
10 Trou sphéno palatin	20 Impression du nerf trijumeau		T : partie pétreuse de l'os temporal
11 <u>Lame criblée</u>	21 <u>Méat acoustique interne</u>		a, b, c : Fosses cérébrales rostrale, médiale et caudale

Planche 7 : Les trous de sortie des nerfs crâniens du Bœuf (1)



Tête osseuse de Bœuf : vue dorsale d'une coupe dorsale (ou frontale)
(d'après R. BARONE, 1986)

Planche 8 : Les trous de sortie des nerfs crâniens du Bœuf (2)



Tête osseuse de Bœuf : vue médiale d'une coupe paramédiane
(d'après R. NICKEL, A. SCHUMMER, E. SEIFERLE, 1986)

- 1 Lame externe de l'os frontal
- 1'' Lame interne de l'os frontal
- 2 Sinus frontal
- 3 Processus cornual
- 4 Protubérance intercornuale
- 5 Protubérance occipitale ext.
- 6 Protubérance occipitale int.
- 8 Trous jugulaire
- 9, 9' Entrées du canal condyalaire
- 10 Condyle occipital
- 11 Canal du N. hypoglosse
- 12 Fissure pétro-occipitale
- 13 Méat acoustique interne
- 14 Selle turcique
- 15 Trou ovale
- 16 Trou orbito-rond
- 17 Canal optique

- 18 Crête orbito-sphénoïdale
- 19 Fosse ethmoïdale
- 20 Sinus sphénoïdal
- 21 Processus paracondyalaire
- 22 Processus musculaire
- 23 Crochet ptérygoïdien
- 24 Vomer

I, II, III : 1^{er}, 2^{ème} et 3^{ème} endoturbinaires

E : os ethmoïde

F : os frontal

O : os occipital

Pl : os palatin

Pt : os ptérygoïde

S : os sphénoïde

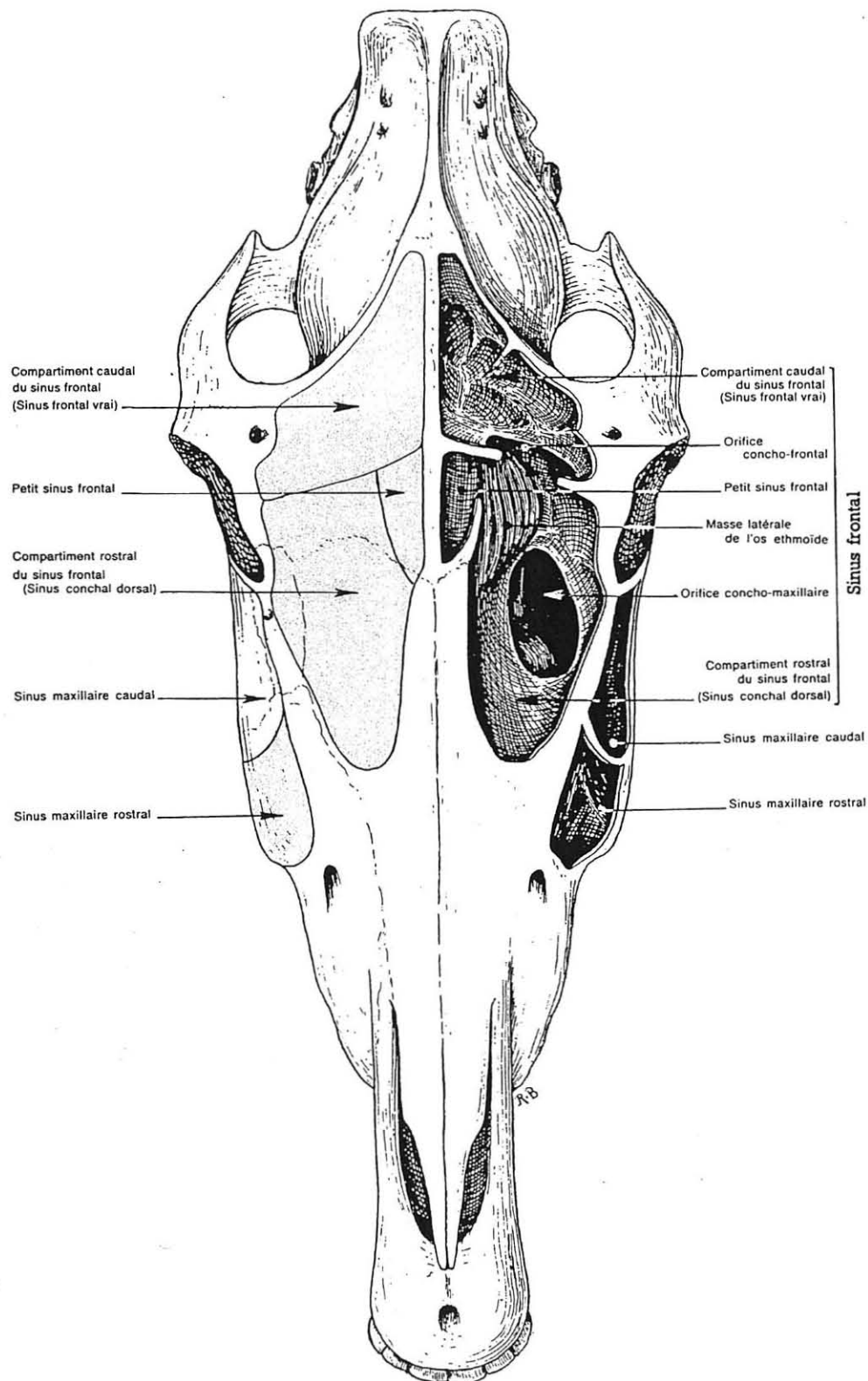
V : vomer

a partie pétreuse de l'os temporal

b partie tympanique de l'os temporal

— Trous de sortie
des Nn. crâniens

Planche 9 : Les sinus paranasaux du Cheval (1)

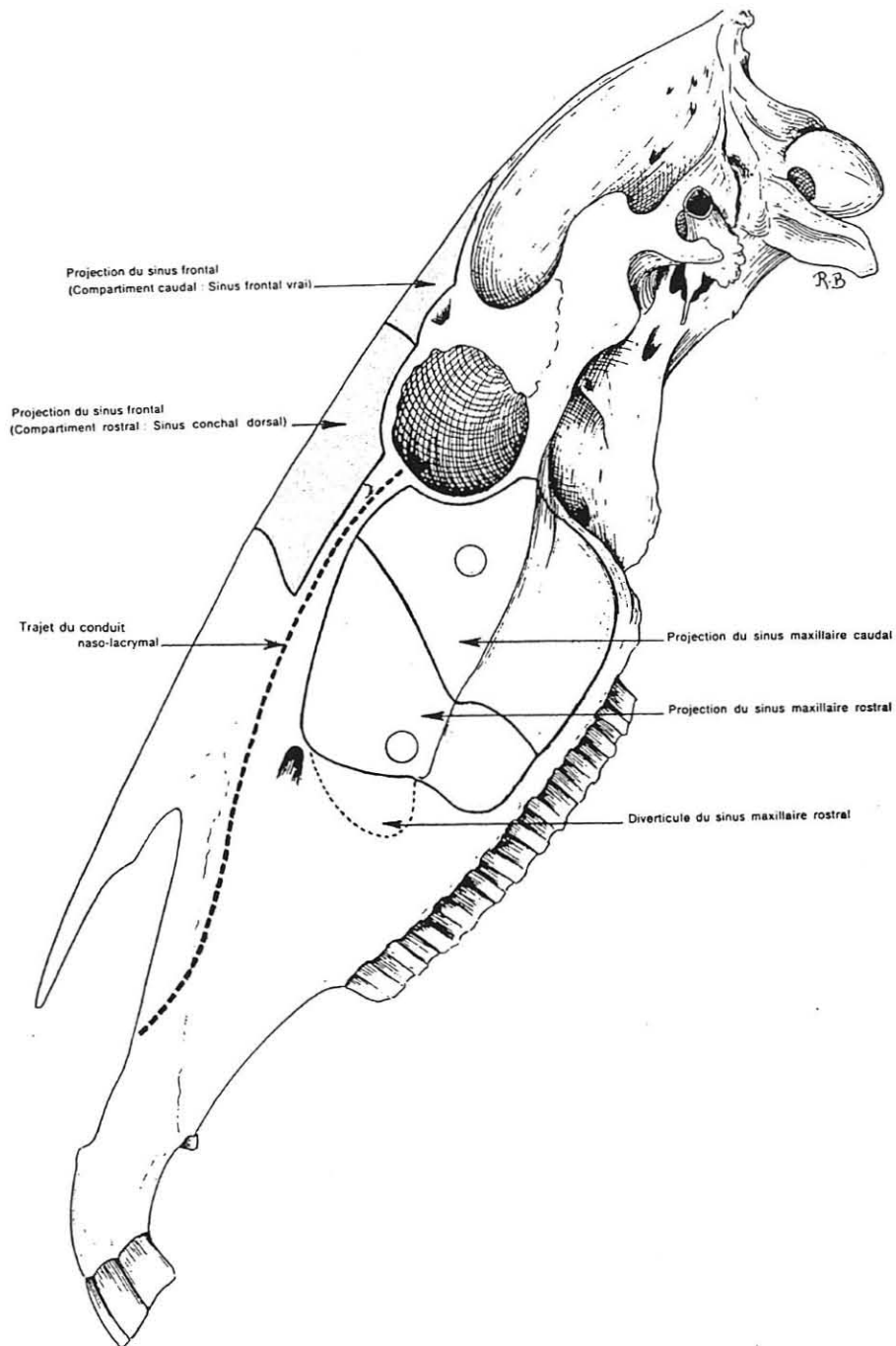


Les sinus paranasaux du Cheval

A gauche de la figure sont dessinées les zones de projection des sinus
Ceux-ci ont été préparés par ouverture large de la paroi sur l'autre côté de la pièce

(d'après R. BARONE, 1986)

Planche 10 : Les sinus paranasaux du Cheval (2)

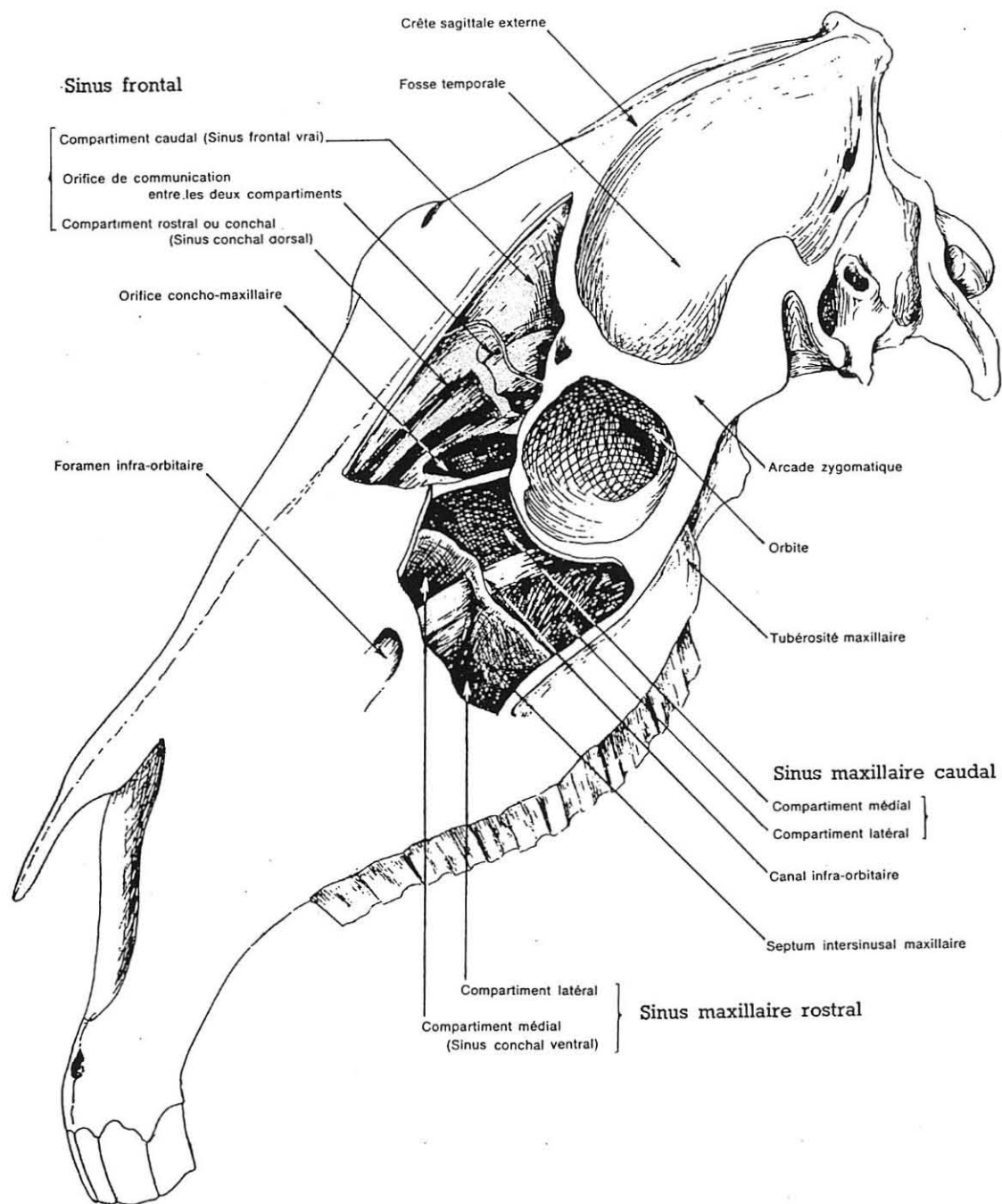


Zones de projection des sinus paranasaux du Cheval : vue latérale gauche

Les limites des zones dessinées correspondent à la moyenne des dispositions anatomiques de l'adulte
Les cercles indiquent les points d'élection des trépanations

(d'après R. BARONE, 1986)

Planche 11 : Les sinus paranasaux du Cheval (3)

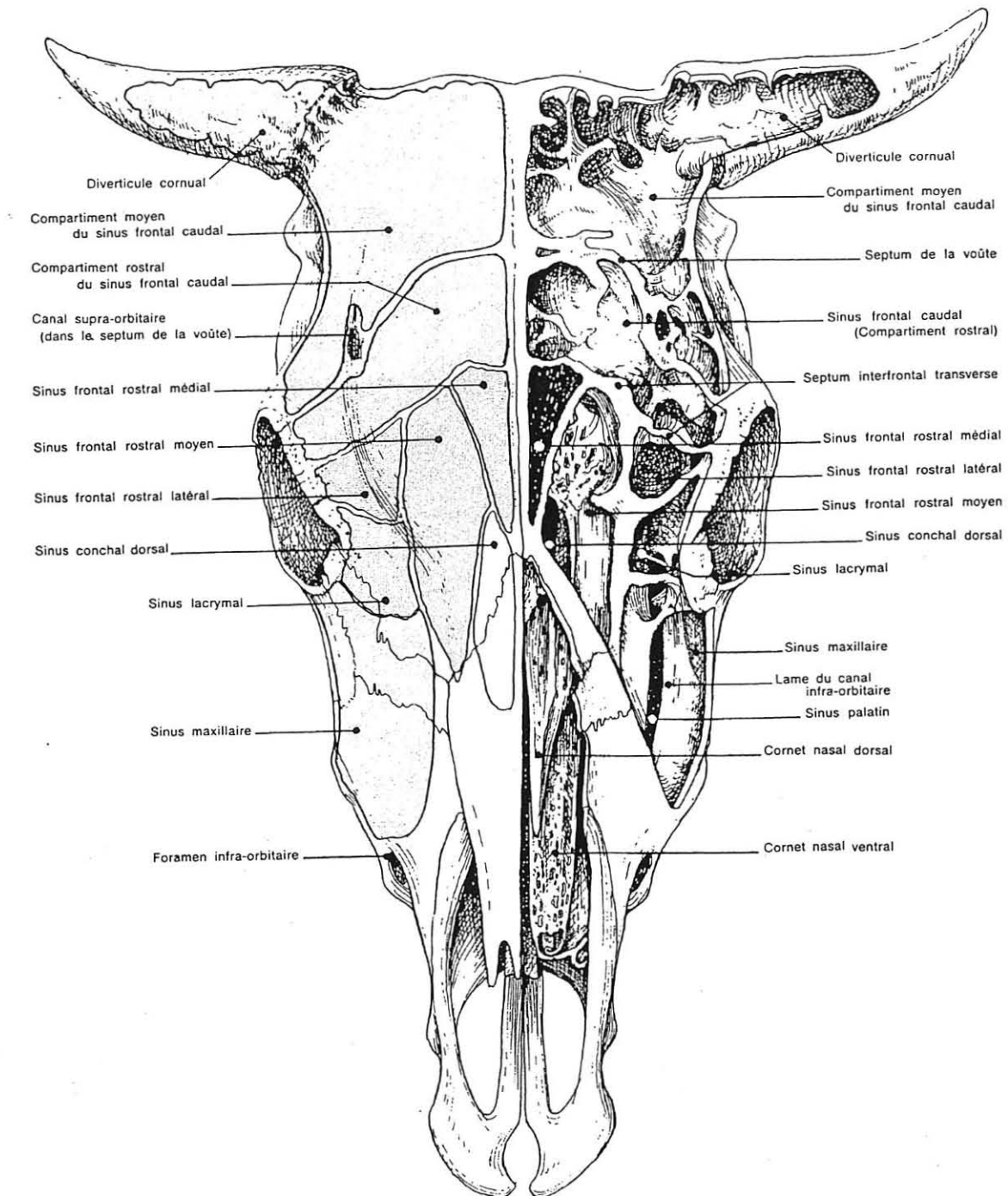


Sinus frontal et maxillaires du Cheval

Mis à découvert après fenêtration large de la tête

(d'après R. BARONE, 1986)

Planche 12 : Les sinus paranasaux du Bœuf (1)

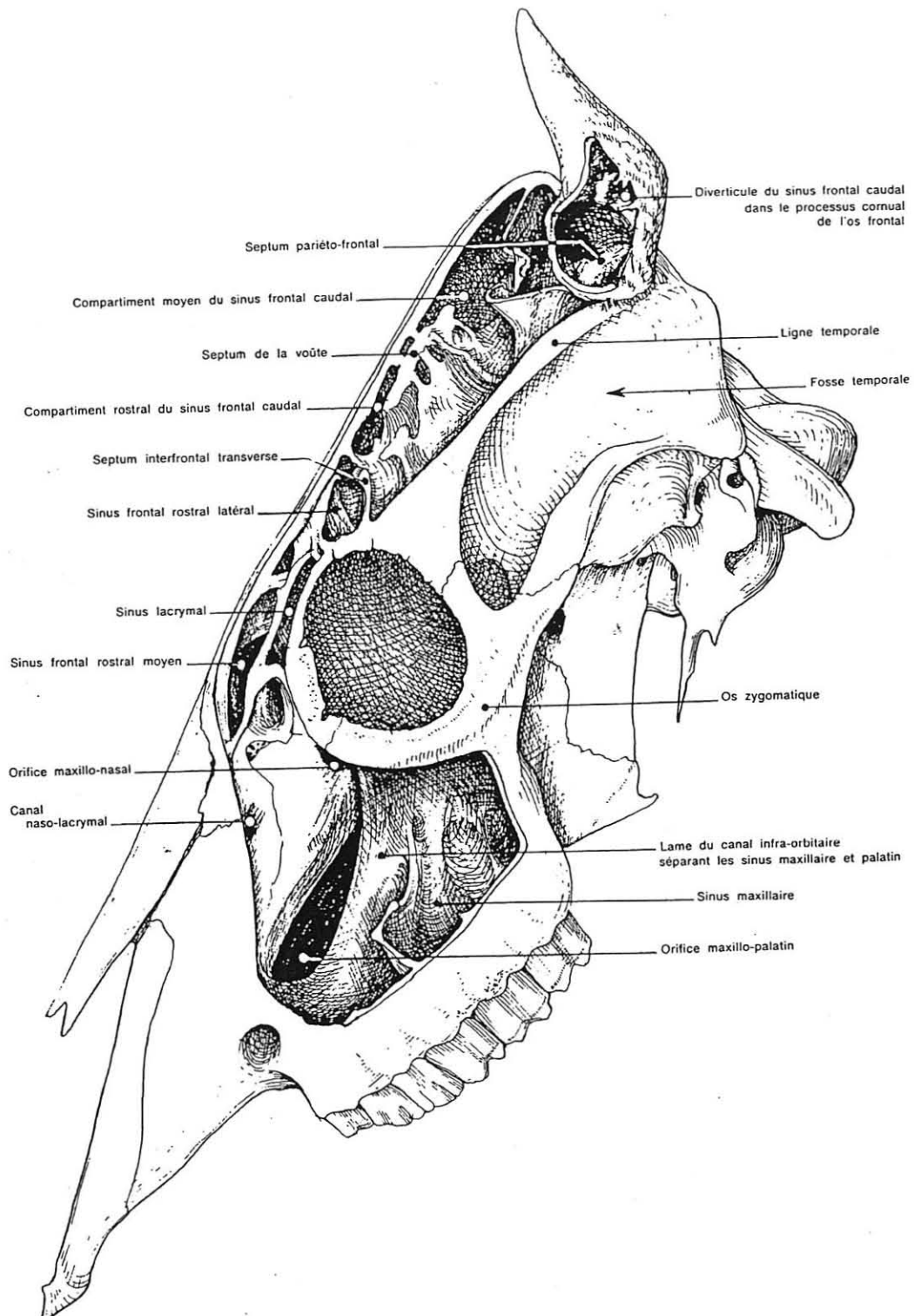


Les sinus paranasaux du Bœuf

A gauche de la figure sont dessinées les zones de projection
Les sinus ont été préparés par ouverture large sur l'autre côté de la pièce

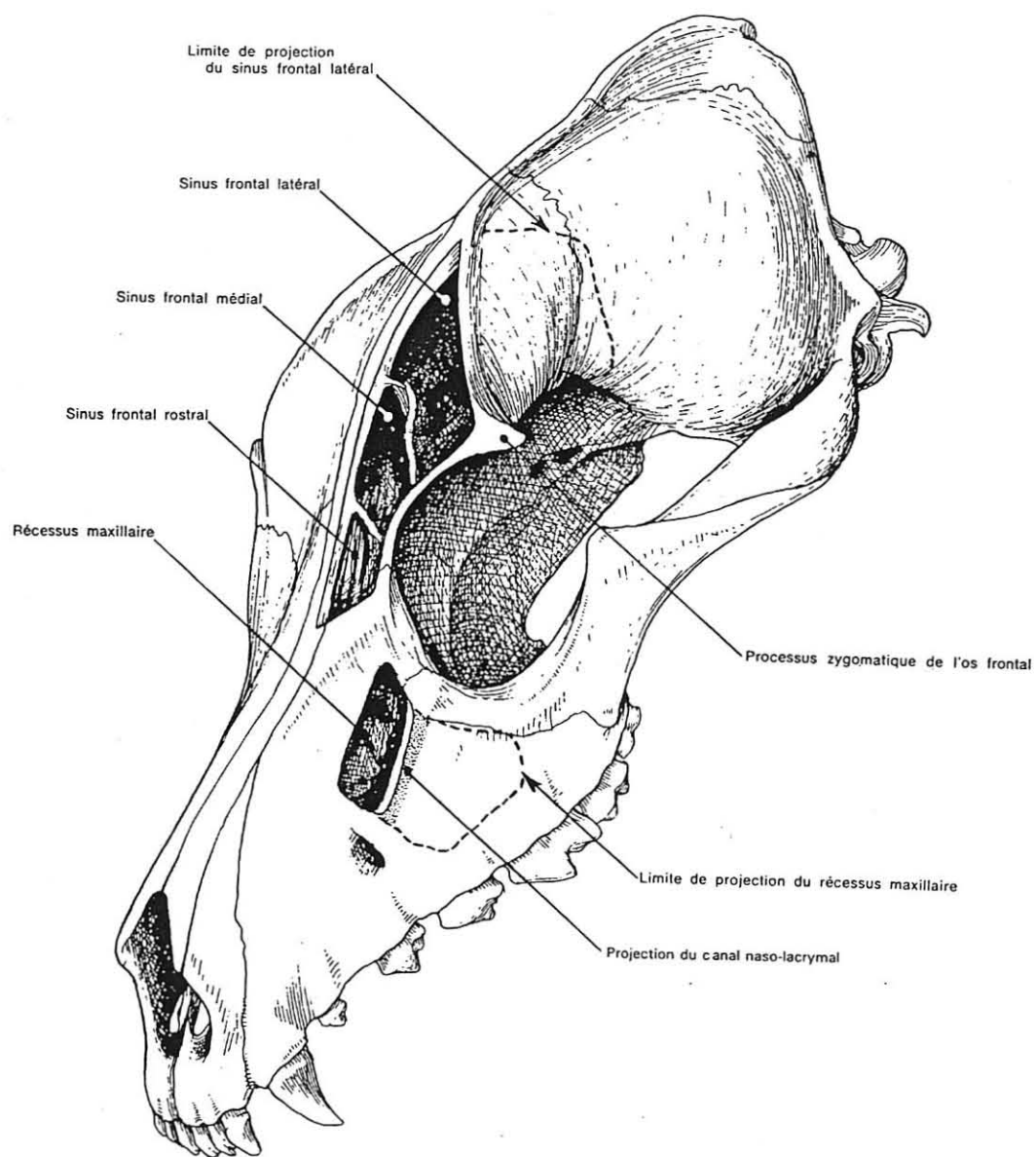
(d'après R. BARONE, 1986)

Planche 13 : Les sinus paranasaux du Bœuf (2)



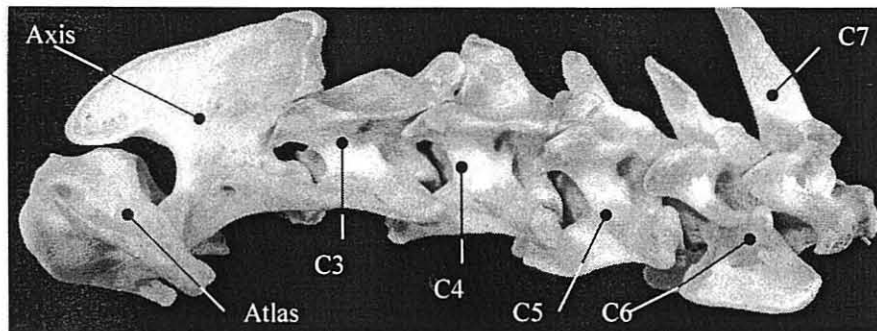
Les sinus du Bœuf : vue latérale gauche
(d'après R. BARONE, 1986)

Planche 14 : Les sinus paranasaux du Chien

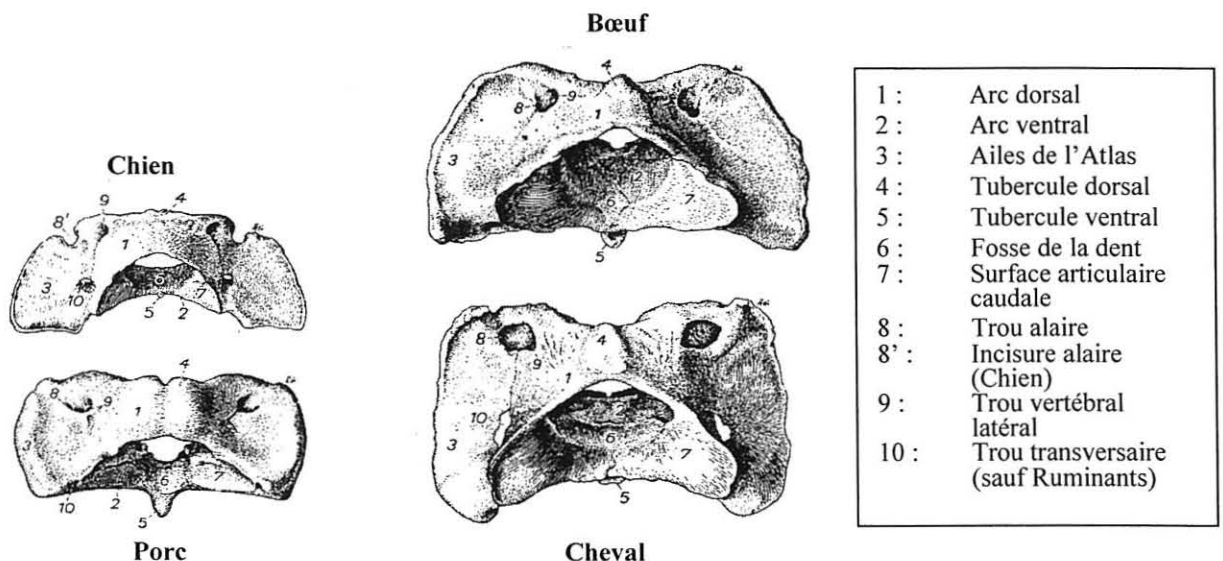


**Les sinus paranasaux du Chien : vue latérale gauche
(d'après R. BARONE, 1986)**

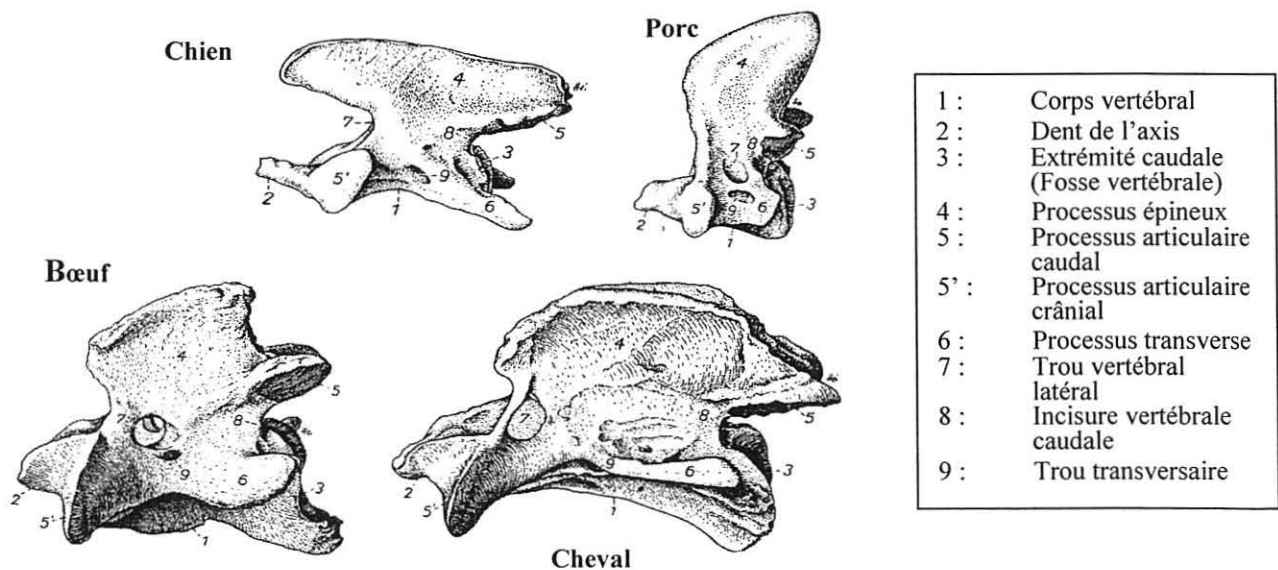
Planche 16 : Vertèbres cervicales



Vertèbres cervicales du Chien : vue latérale gauche
(d'après J. RUBERTE, J. SAUTET, 1995)

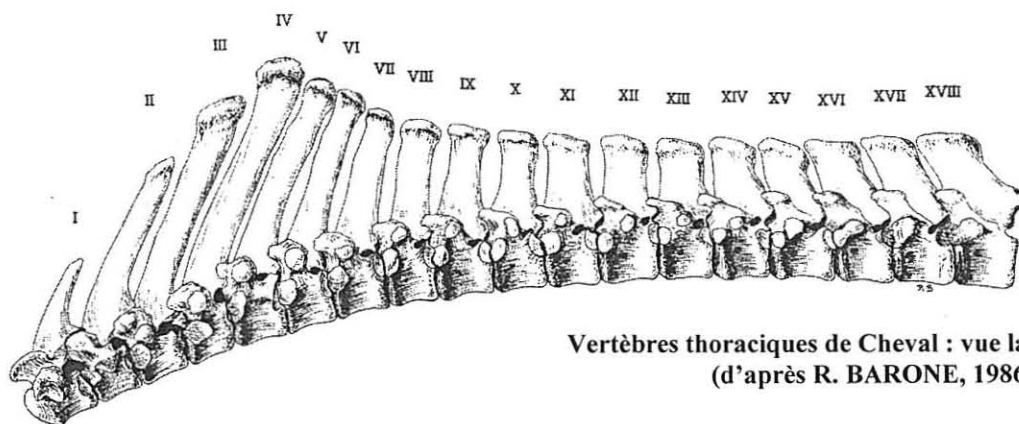


Atlas des Mammifères domestiques, vues caudo-dorsales
(d'après R. NICKEL, A. SCHUMMER, E. SEIFERIE, 1986)

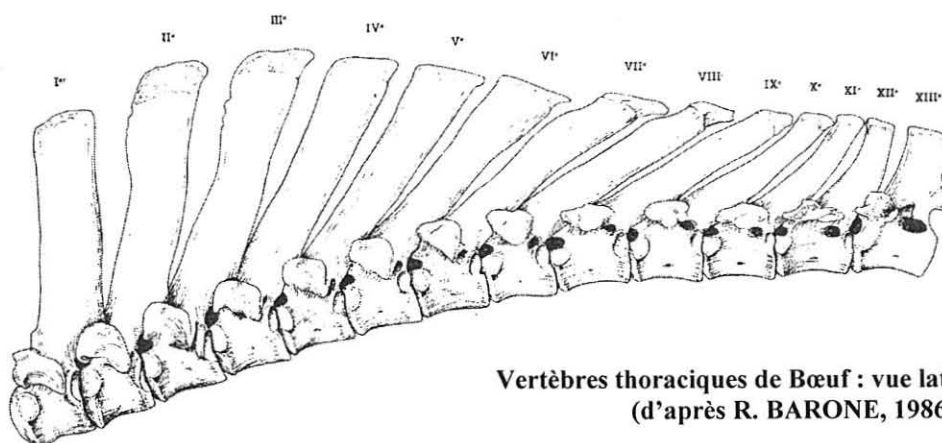


Axis des Mammifères domestiques, vues latérales gauches
(d'après R. NICKEL, A. SCHUMMER, E. SEIFERIE, 1986)

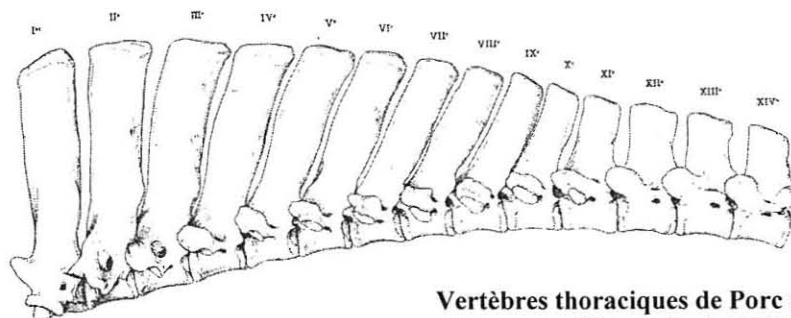
Planche 17 : Vertèbres thoraciques



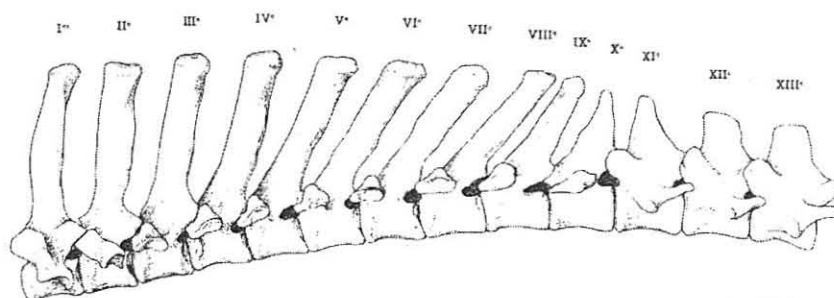
Vertèbres thoraciques de Cheval : vue latérale gauche
(d'après R. BARONE, 1986)



Vertèbres thoraciques de Bœuf : vue latérale gauche
(d'après R. BARONE, 1986)

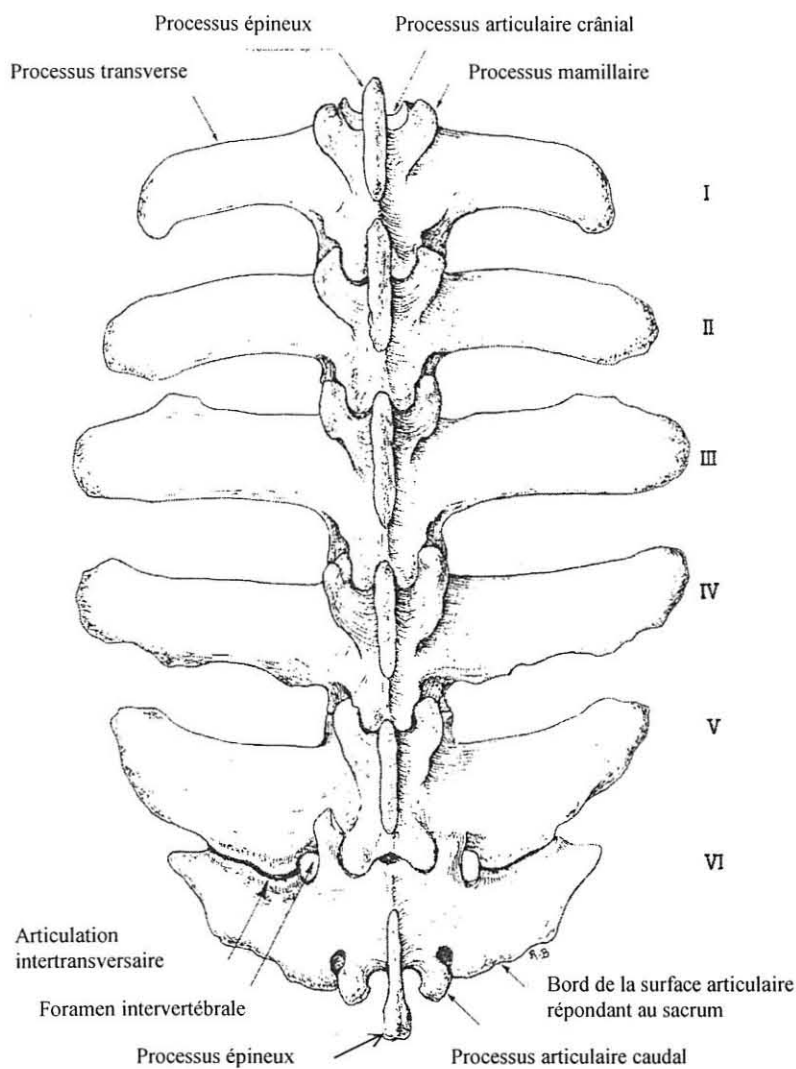


Vertèbres thoraciques de Porc : vue latérale gauche
(d'après R. BARONE, 1986)

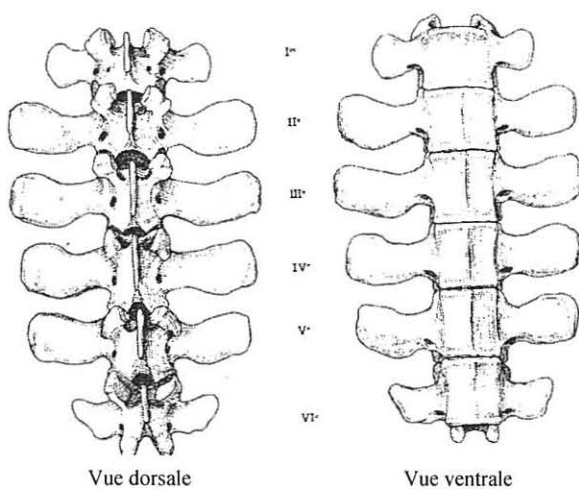


Vertèbres thoraciques de Chien : vue latérale gauche
(d'après R. BARONE, 1986)

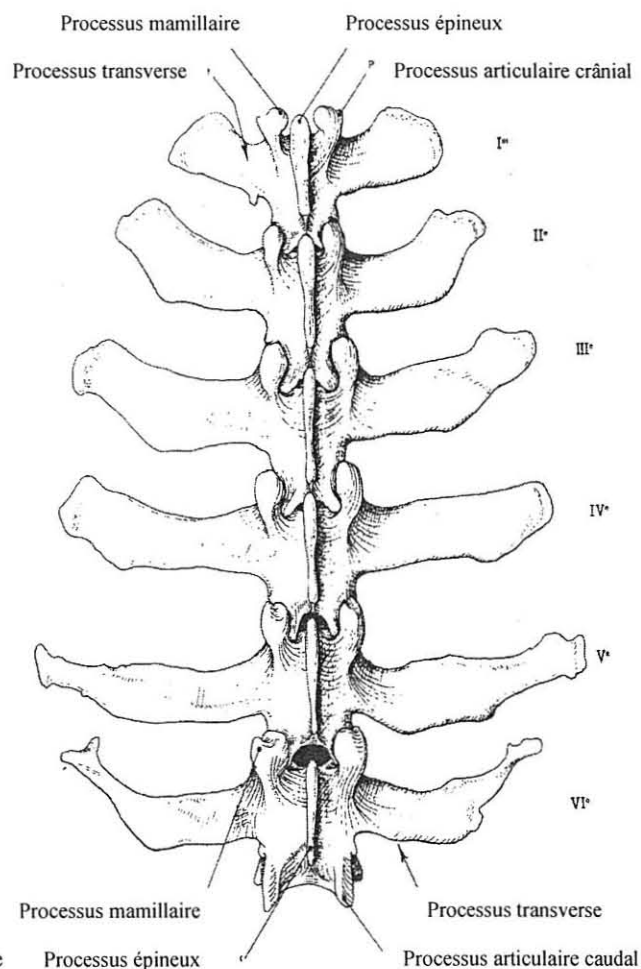
Planche 18 : Vertèbres lombaires



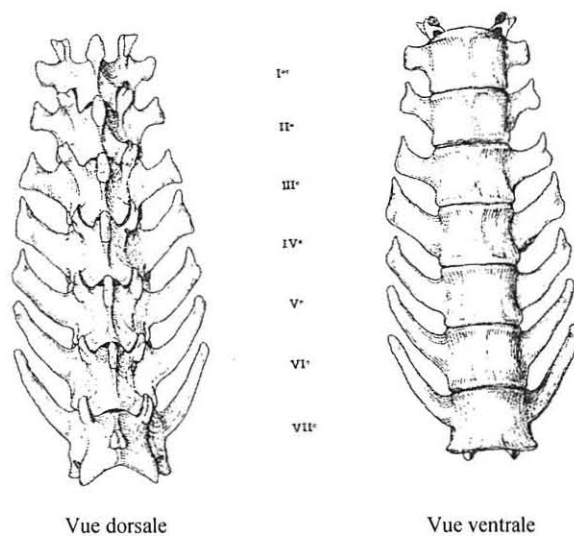
Vertèbres lombaires de Cheval : vue dorsale
(d'après R. BARONE, 1986)



Vertèbres lombaires de Porc : vues dorsale et ventrale
(d'après R. BARONE, 1986)

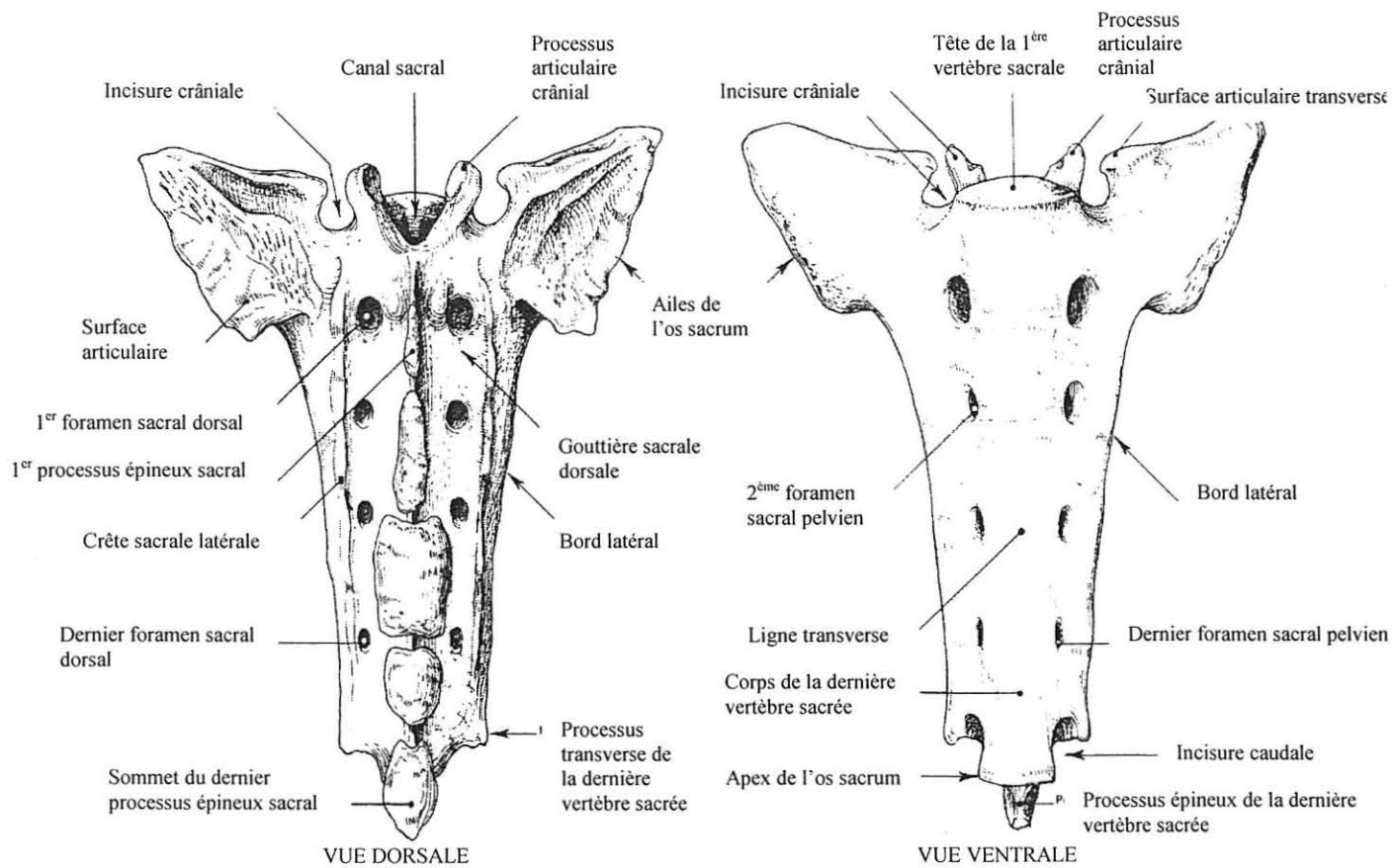


Vertèbres lombaires de Bœuf : vue dorsale
(d'après R. BARONE, 1986)

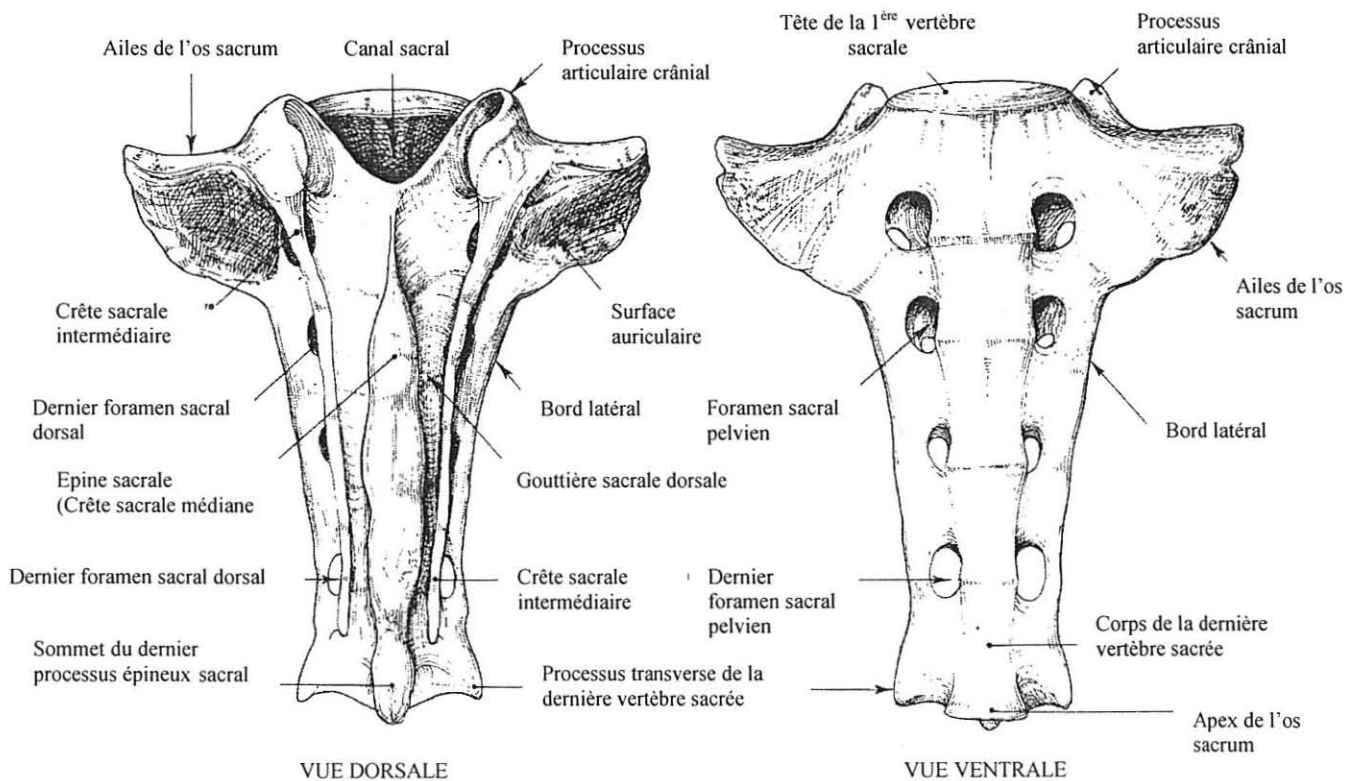


Vertèbres lombaires de Chien : vues dorsale et ventrale
(d'après R. BARONE, 1986)

Planche 19 : Vertèbres sacrées (1)

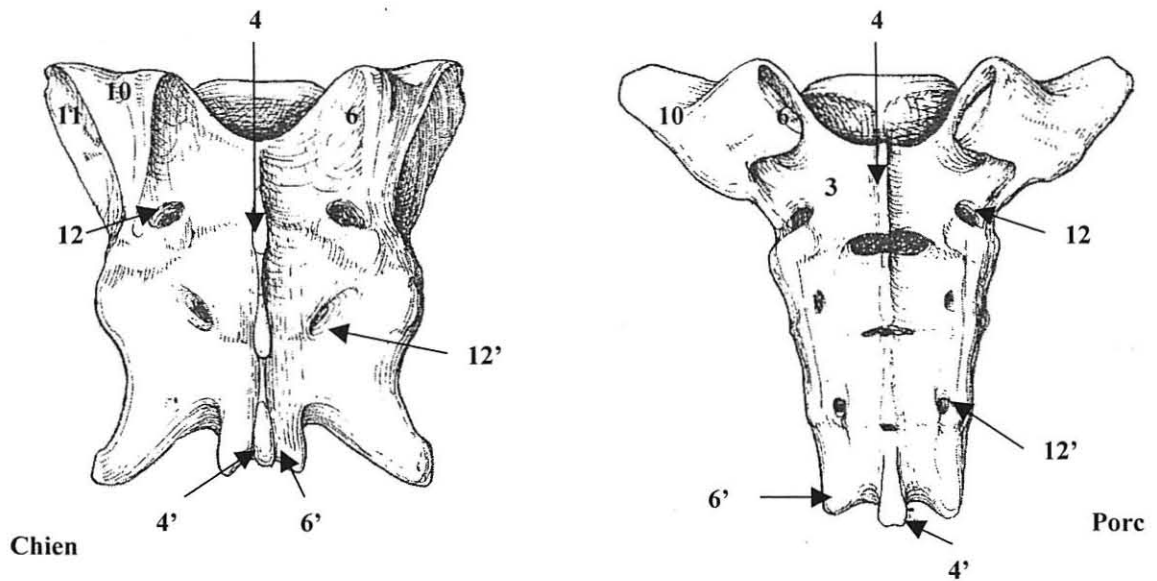


Os sacrum du Cheval : vues dorsale et ventrale
(d'après R. BARONE, 1986)

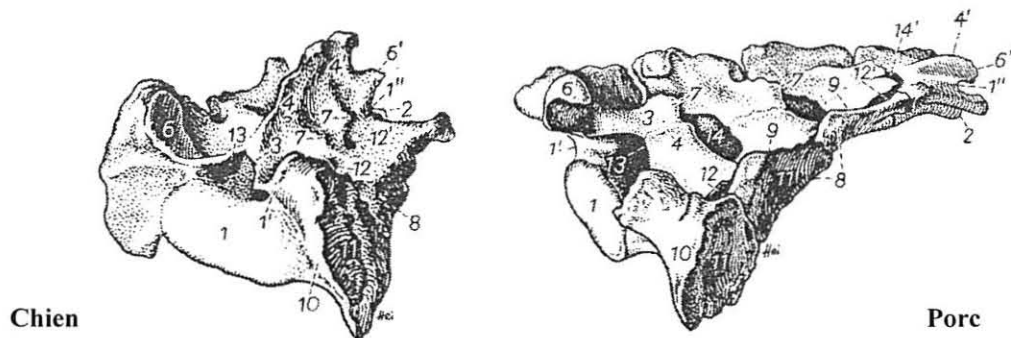


Os sacrum du Bœuf : vues dorsale et ventrale
(d'après R. BARONE, 1986)

Planche 20 : Vertèbres sacrées (2)



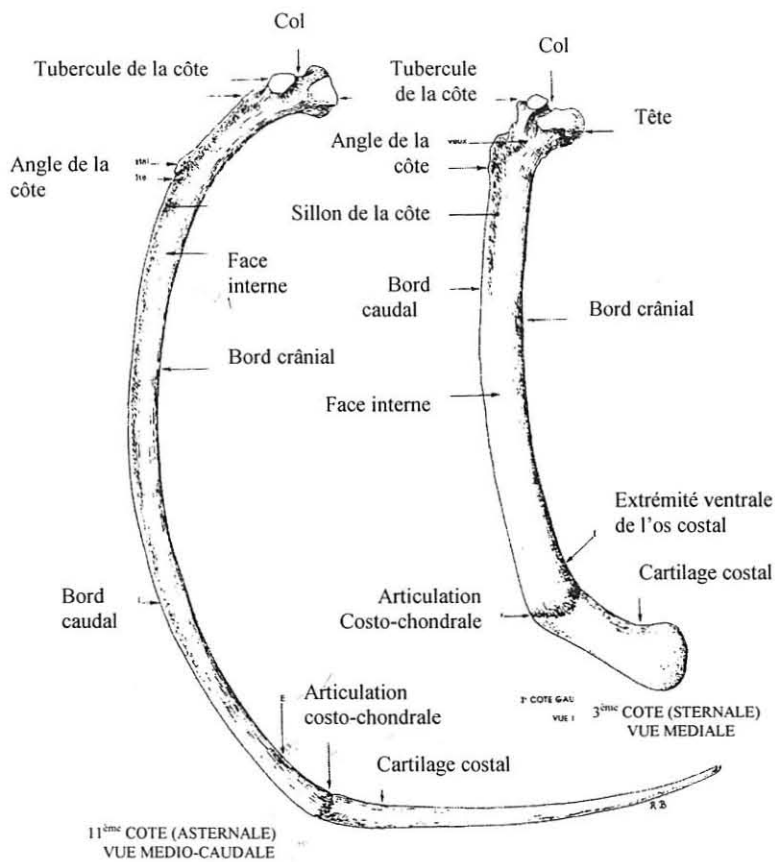
Os sacrum du Chien et du Porc : vue dorsale
(d'après R. BARONE, 1986)



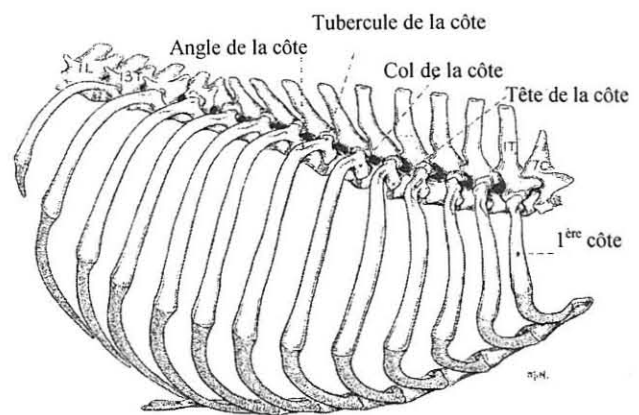
Os sacrum du Chien et du Porc : vue crânio-dorsale gauche
(d'après R. NICKEL, A. SCHUMMER, E. SEIFERLE, 1986)

- | | | | |
|-----------|--|-------|--|
| 1 : | Extrémité crâniale | 8 : | Partie latérale |
| 1', 1'' : | Incisures vertébrales crâniale et caudale | 9 : | Crête latérale latérale |
| 2 : | Extrémité caudale | 10 : | Ailes de l'os sacrum |
| 3 : | Arc vertébral de la 1 ^{ère} vertèbre sacrée | 11 : | Surface auriculaire des ailes |
| 4 : | 1 ^{er} processus épineux | 12 : | 1 ^{er} foramen sacral dorsal |
| 4' : | Dernier processus épineux | 12' : | Dernier foramen sacral dorsal |
| 6, 6' : | Processus articulaires crânial et caudal | 13 : | 1 ^{er} foramen sacral pelvien |
| 7 : | Processus articulaire rudimentaire | 14 : | 1 ^{er} espace interarqual |
| | | 14' : | Dernier espace interarqual |

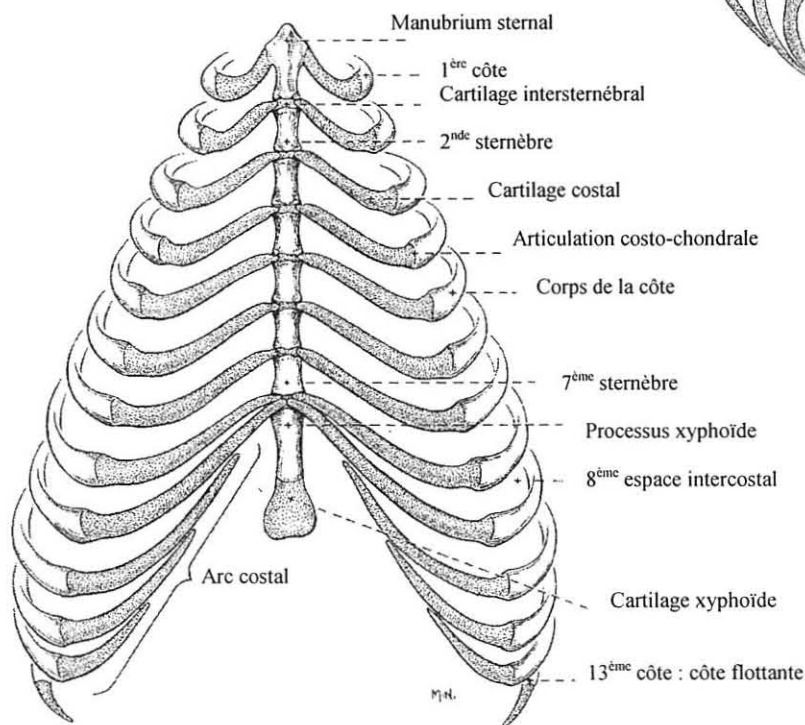
Planche 21 : Squelette thoracique



Côtes gauches de Cheval n°3 et 11
(d'après R. BARONE, 1986)



Côtes et sternum de Chien :
vue latérale droite
(d'après H.E. EVANS, 1993)



Côtes et sternum de Chien : vue ventrale
(d'après H.E. EVANS, 1993)